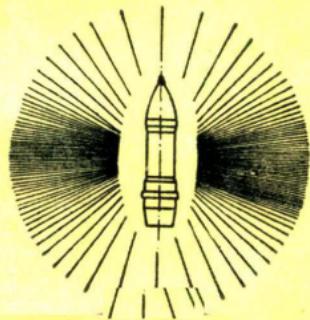


B. B. 別洛烏索夫 著

# 122公厘空炸榴彈的作用



國防工業出版社

统一书号：5034·81

定 价：0.49 元

# 122公厘空炸榴彈的作用

上校工程師、講師

B.B. 別洛烏索夫著

汪洋譯

本書叙述了122公厘空炸榴彈的作用，列舉了空炸  
射击、着发射击和跳弹射击时榴彈作用的比較数据，并  
闡述了作者提出的空炸榴彈之空中爆炸的分类問題。

本書是炮兵部队和軍事学校的軍官在研究空炸榴彈  
射击时的参考材料。

Белоусов В.В.

ДЕЙСТВИЕ

122-ММ БРИЗАНТНОЙ

ГРАНАТЫ

Военное Издательство

Министерства Вооруженных Сил Союза ССР

Москва-1949

本書系根据苏联軍事出版

一九四九年俄文版譯出

## 122公厘空炸榴彈的作用

〔苏〕別洛烏索夫 著

汪 洋 譯

\*  
國防工業出版社出版

北京市書刊出版业营业許可証出字第074号

北京新中印刷厂印刷 新华書店发行

\*

787×1092耗1/32·2<sup>11</sup>/16印張·57,000字

一九五七年十月第一版

一九五七年十月北京第一次印刷

印数：1—700册 定价：(11)0.49元

## 目 录

榴彈的爆炸.....	1
研究榴彈破片作用的方法.....	3
靜止榴彈的破片飞散.....	5
榴彈在彈道上爆炸时破片的飞散.....	7
偏移角对于射击的意义.....	14
炸高对空炸榴彈破片作用的影响.....	17
落角对榴彈破片作用的影响.....	28
各种不同射击时，榴彈破片作用的比較.....	41
爆炸的分类.....	48
空炸榴彈射击效果的表征.....	70

## 榴彈的爆炸

榴彈的爆炸現象可分成两个阶段，每一阶段的持續時間以万分之一，十万分之一秒計。

在第一阶段中，构成榴彈装药的爆发物产生爆轟；实际上可認為爆轟是在瞬間产生的。事实上梯恩梯的爆轟速度等于 6670 公尺/秒，而 122 公厘榴彈的药柱长不超过 40 公分，所以其爆轟持續時間不超过  $0.4 + 6670 = 0.00006$  秒。此时，彈體內产生的压力以几万个大气压計。在这样巨大的压力的作用之下，彈體开始变形，繼而在其表面产生无数裂縫，逐渐裂开，結果使彈體炸成很多破片（图 1）。

爆炸現象的第一阶段到此結束。

在第二阶段中，榴彈装药爆轟所产生的极热的具有彈性的气体繼續迅速扩展，向四方推動彈體破片，使之得到很大的速度。随着气体的扩展，破片的速度繼續增加。由爆炸点向四方飞散的破片，因其外形不規則，受到很大的空气阻力。随着破片速度的增加，空气对其飞行的阻力也增加。各个破片的速度不断增加，直到气体压力因逐渐远离爆炸点而不能与随破片速度增加而增大的破片空气阻力相等时为止。这时破片速度达到最大数值。

破片由爆炸点到其飞行速度最大一点所飞行的路程不大——約 25~30 公分。此时破片最大速度达到 1000 公尺/秒以上。但是由于破片外形不規則及空气的阻力，其速度隨着距爆炸点距离的增大，降低很快。

在彈內炸药气体压力等于大气压力时，榴彈爆炸現象

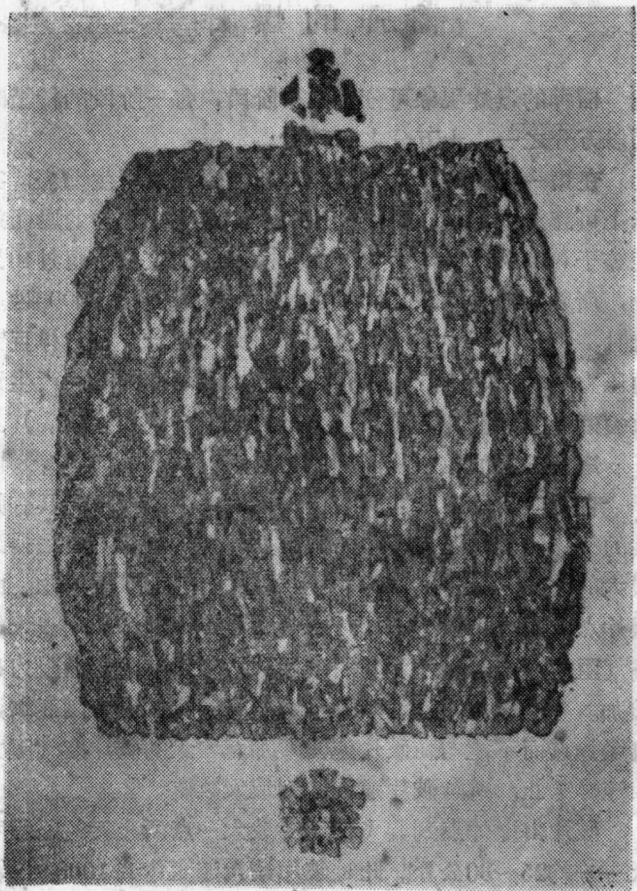


图 1 122公厘杀伤爆破彈 OΦ-462 爆炸时产生的破片

的第二阶段就结束了。

此后继续作用于飞行中的破片的有两个力：1. 空气阻力；2. 重力。

应该指出，假如榴弹在钻入土内以后爆炸，这时土紧固地包着弹体，榴弹的破片（主要是长圆形的）较弹体没接触地面以前爆炸的破片数量多并较大。

## 研究榴弹破片作用的方法

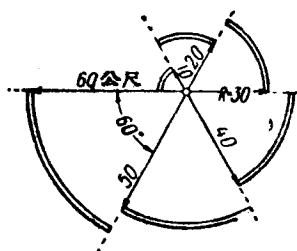


图 2 扇形威力圈图

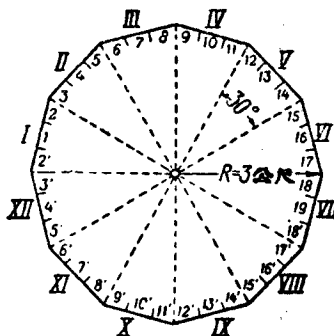


图 3 十二边形威力圈图

至今还未能制定出一种能十分准确地计算弹体炸成破片的数量的方法。所以研究榴弹和迫击炮弹的破片作用，都采用实验的方法。

炮弹的破片性，即弹体裂成破片的性能由在爆坑内爆破炮弹所炸成的破片数量、形状和重量来判定。炮弹破片作用，即破片杀伤范围，一般用在威力圈内爆破炮弹的方法判定；威力圈是用高为三公尺，距爆炸点距离各不相同的木板围成的（所谓“扇形威力圈”，图2）。试验时，炮弹直立安置在威力圈中央，弹头向上，距地面1.5公尺。此时，

围成的威力圈就能包容对判定炮弹杀伤作用有意义的大部分破片。試驗須重复数次，以便获得可靠的结果。

判定 122 公厘榴彈試驗的結果时，以能打穿25公厘厚的松木板的破片为有效杀伤破片。要打穿这样的木板，破片随着形状的不同，在冲击木板时应具有 3 至 42 公斤公尺的能量。最小能量（3 公斤公尺）只有在长圆形破片以其端头冲击目标时，才足以打穿木板，并且此时打穿的孔也不太大；当大破片平着打在木板上，并且打的孔較大时，所需的能量最大（42公斤公尺）。

可認為有效杀伤破片在冲击木板时，应具有的能量平均为30公斤公尺。

以破片的杀伤能比木板穿孔的面积，就可得出单位杀伤能。試驗 122 公厘榴彈所得之单位杀伤能的平均值为20 公斤公尺 / 平方公分①。

为了研究破片在飞散范围內的分布情况，可在寬 1.5 公尺，高 3 公尺的木板組成的正十二邊形內爆破炮彈。十二邊形的半徑等于 3 公尺。

木板是用厚为 2.5 公分的松木制成的。每块木板分为三等分，称为分布区。十二邊形上共有 36 个这样的分布区。木板和分布区編号如图 3 所示。

編号相同的每一对分布区（2 和 2'；3 和 3'；17 和 17'；

① 本書作者的数据与通常采用者稍有出入。一般把打穿25公厘松木板的破片和打入木板的破片的半數都看作是有效杀伤破片，因为每一个这样的破片都足能使人失去战斗能力。在这种情况下，有效杀伤破片的平均能量为10~15公斤公尺，而不是本書作者所認為的30公斤公尺。对破片的杀伤性能要求过高，本書作者自然就縮小了122 公厘榴彈的破片作用，但是这并不影响他的最后实际結論的正确性。——編者

18和18')称为破片飞散界。一对分布区是一个球面面积的一部分(图4)，用来统计打到这部分的破片数量，这样就可以作破片在其飞散范围内的分布的结论了。

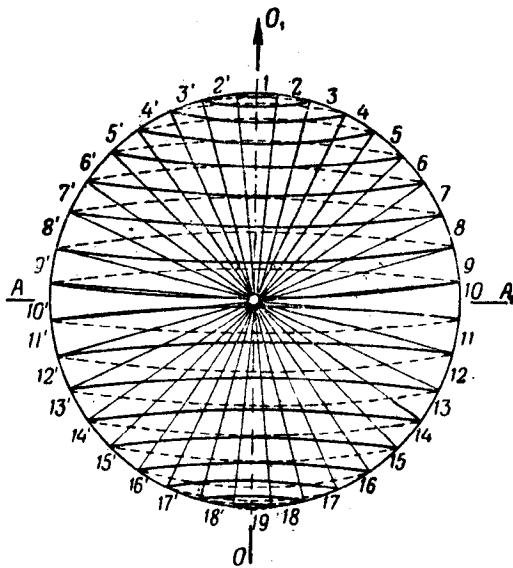


图4 十二边形分布区编号次序的图解(球面分散界)

### 静止榴弹的破片飞散

122公厘爆破杀伤弹0Φ-462爆炸时，可得3000破片；其中1100~1400片是有效杀伤破片①。

① 这些数据与以前的教科书中所载的出入很大；那些教科书中说，122公厘榴弹的有效杀伤破片是400~500片（参看“炮兵教程”，卷一，第三版第266页；高级炮兵学校教科书“地面炮兵射击”，第一册第144页等）。本著作作者的数据以最近的试验为根据，所以应算是较正确的。——编者

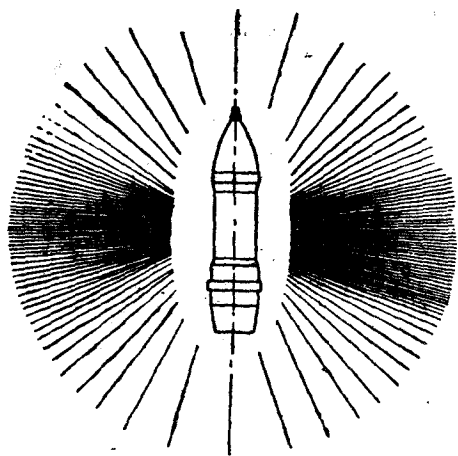


图 5 榴弹爆炸时，破片飞散图

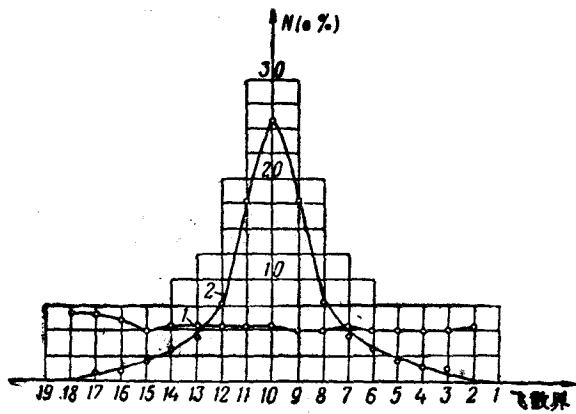


图 6 榴弹破片飞散范围内之破片分布曲线图

爆破榴彈時，破片飛散的大致情況如圖 5。彈體圓柱部產生的破片最多，頭部和底部的破片較少。

爆破立放的炮彈時，破片在各飛散界的分布相當均勻（表 1）。

但若爆破臥放的炮彈，破片在各飛散界的分布就不均勻了，這時大部分破片（78%）分布在與垂直於炮彈中心線的面相對稱的五個球面飛散界的範圍之內（表 2）。

包括這五個飛散界的這部分破片飛散範圍稱為破片分布幅，上述五個飛散界稱為中央飛散界。

根據表 1、表 2 的數據可繪出破片飛散分布曲線如下（圖 6）：

表 1

立放榴彈爆炸時，破片在各飛散界的分布

飛散界編號	1	2	3	4	5	6	7	8	9	10	11	12	13	14	15	16	17	18	19	合計
破片百分數	0	6	5	5	6	7	6	7	3	7	5	5	5	5	5	6	7	7	0	100

表 2

臥放榴彈爆炸時，破片在各飛散界的分布

飛散界編號	1	2	3	4	5	6	7	8	9	10	11	12	13	14	15	16	17	18	19	合計
破片百分數	—	—	1	1	2	3	4	8	18	26	18	8	4	3	2	1	1	—	—	100

### 榴彈在彈道上爆炸時破片的飛散

榴彈在彈道上（空中）爆炸時，破片的飛散基本保持上述的性質；炮彈在爆炸時不是不動的，而具有前進的速度並沿本身的中心線旋轉，這種情況使破片飛散的性質有

某些改变。

所以，影响破片飞散的有下列速度：

1. 榴弹之中炸药爆炸时，破片所得到的速度  $V$ ；
2. 因榴弹旋转而产生的圆周速度  $V_n$ ；
3. 榴弹爆炸时，炮弹之末速  $V_{e_0}$ 。

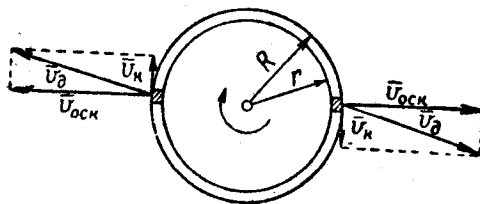


图 7 破片速度  $V_{eck}$  与其圆周速度  $V_n$  之合成； $V_a$ ——合速度之矢量

破片速度在榴弹开始爆炸时的瞬间最大，所以对于破片速度来说，圆周速度和炮弹末速是次要的。

研究这个问题时，假设圆周速度的矢量与弹体侧面之切线重合，方向与旋转方向相同，而炮弹末速的矢量与弹之中心线重合，方向与射击方向相同。

我们首先来研究一下圆周速度  $V_n$  对具有速度为  $V_{eck}$  的破片飞行的影响。由于这两个速度合成的结果（图 7），破片具有合速度  $V_a$ ，和原有速度的大小和方向都不相同。

如果静止爆炸时大部分破片飞散的方向与弹体侧面的法线一致，那么弹在弹道上爆炸时，由于圆周速度的影响，破片飞散的方向偏向弹旋转方向。而因为大部分破片所受离心力之作用程度相同，所以可作出结论：炮弹在弹道上爆炸与静止爆炸时，破片飞散的一般性质相同。

合速度  $V_a$  的值可按下式求出：

$$V_A = \sqrt{V_{oek}^2 + V_k^2} \quad (1)$$

假設炮彈之角速度為常數，可得

$$V_k = \frac{r}{R} V_0 \tan \alpha, \quad (2)$$

式中  $R$ ——榴彈口徑之半；

$r$ ——榴彈中心線在爆炸瞬間至破片重心的距離；

$V_0$ ——榴彈之初速；

$\alpha$ ——炮口部之膛線纏角。

考慮到  $R \approx r$ ，在解實際問題時可取

$$V_k = V_0 \tan \alpha. \quad (3)$$

假設榴彈靜止爆炸時，破片速度為  $V_{oek} = 1000$  公尺/秒（此速度與實際相近），射擊時所用之火炮的膛線纏角為  $10^\circ$ ，初速  $V_0 = 800$  公尺/秒，可得

$$V_k = V_0 \tan \alpha = 800 \times 0.176 = 141 \text{ 公尺/秒}.$$

所以，中央飛散界（№10）之破片，由於旋轉運動而獲得附加速度 141 公尺/秒。在這種情況下，合速度等於

$$V_A = \sqrt{V_{oek}^2 + V_k^2} = \sqrt{1000^2 + 141^2} = 1010 \text{ 公尺/秒},$$

即僅增加 10 公尺/秒，或增加破片原有速度的 1%。

由此可得出結論：圓周速度對破片飛散及其有效殺傷作用的影響很小，在解實際問題時完全可以略去不計。

現在我們研究一下榴彈末速  $V_0$  對破片飛行的影響。

破片速度  $V_{oek}$  在榴彈爆炸時的方向與彈體表面之法線符合，而炮彈末速  $V_0$  的方向與彈道上之爆炸點的切線相符合。因此可得出結論：中央飛散界（№10）之破片合速度的

方向与破片原有速度的方向构成某一角度，其大小可用下式求出：

$$\tan \Delta\theta_0 = \frac{V_0}{V_{0ex}}。 \quad (4)$$

$\Delta\theta_0$  角叫做破片分布幅偏移角。求此偏移角时，炮弹末速可由射表中查出，而破片速度可取自表 3。

表 3

$\omega$	$V_{qek}$ 公尺/秒	$\omega$	$V_{0ek}$ 公尺/秒	$\omega$	$V_{0ek}$ 公尺/秒
0.02	355	0.10	794	0.18	1066
0.04	502	0.12	870	0.20	1123
0.06	615	0.14	940	0.22	1178
0.08	711	0.16	1005	0.24	1230

附注  $\omega$ ——榴弹装药的相对重量(与弹重之比)。 $\omega$  的值用射表中之装药重量除以带 D-1 引信之弹重即可求得。一些  $\omega$  值列举如下：

加农炮用杀伤爆破弹的  $\omega$  值……0.11~0.14。

榴弹炮用榴弹之  $\omega$  值：

杀伤爆破钢体弹 OΦ-462……0.17

远射程钢性铸铁杀伤弹 O-462-A……0.14

表 3 所列数据是属于装梯恩梯的钢体榴弹的。

静止爆炸 122 公厘杀伤爆破榴弹 OΦ-462 时，破片的速度为 1030 公尺/秒。射程为 5 千公尺以上，用各种装药以 45° 以下各种掷角射击时，榴弹的末速在 293~210 公尺/秒范围内。使用公式 (4) 可证出：122 公厘榴弹在弹道上爆炸时，破片分布幅偏移角可由  $V_0 = 210$  公尺/秒时之  $10^\circ 30'$  变至  $V_0 = 293$  公尺/秒时之  $15^\circ 55'$ 。

因此，知道破片分布幅偏移角的大小，我们就能计算

出末速对破片飞散的影响。

如图8所示，破片合速度的矢量对于原有速度的矢量来说始终偏向射击方向。

任一破片飞散界的破片飞行速度和方向都不难用图表求出。绘出如图9之各个破片飞散界的图表，可以得出下述结论。

末速对各飞散界之破片飞行性质的影响各不相同。

沿榴弹运动方向飞行之破片的合速度最大（飞散界№1），向反方向飞行之破片的合速度最小。在这两种情况下，破片飞行的方向均不变。

其他飞散界（№2～№18）的破片飞行速度的大小和方向都有变化。此时，位于弹头方面的半球形的右面（飞散界№1～№10）的破片速度增加，左面（飞散界№11～№19）的破片速度减小。

与榴弹中心线垂直的飞散界№10的破片分布幅偏移角最大。

对称地位于中央飞散界№10左右的其他飞散界的偏移角逐渐减小，直到零为止。在任何情况下，破片飞散都偏向榴弹运动方向。

我们已弄清楚了末速对飞散范围内的破片飞行的影响。末速对图9中未表示出的另一半球形内之破片飞行的影响亦相同。

研究图9时可作出结论：由于破片在其飞散范围内分

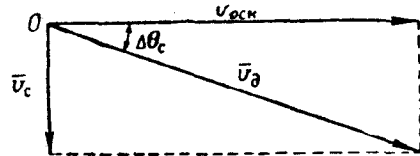


图8 破片速度 $V_{0,cm}$ 和炮弹末速 $V_0$ 的合成。  
 $V_d$ ——合速度； $\Delta\theta_c$ ——破片轨迹偏移角

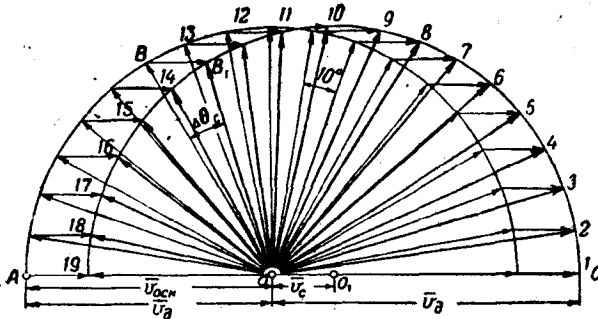


图 9 各飞散界破片飞行的速度和方向

布对称，全部破片速度的增加总量实际上应等于零，因为球面左面的破片的速度损失由右面的破片所增加的大約相等的速度互相抵銷了。所以，榴彈在彈道上爆炸时，破片之总杀伤能与靜止爆炸时相同。

因此，研究射击中榴彈之破片作用时，可以不計末速对杀伤作用的影响。

各飞散界破片飞散轨迹偏移角不同，例如飞散界 №11 之破片的飞散轨迹偏移角較飞散界 №9 的大  $1^{\circ}10'$ ，飞散界 №12 的較飞散界 №8 的大  $2^{\circ}15'$ 。

各个飞散界是以破片偏移角的大小为表征的，这个角与中央飞散界 №10 之破片轨迹偏移角的大小相差不多。相差最大的不超过  $1^{\circ}50'$ 。平均偏差量为  $22'$ 。

由于偏移角大小相差很小，可以不計这个偏差量，而以飞散界 №10 的偏移角作为这五个飞散界共同的偏移角。

計算命中率时，由于这个假設所产生的誤差在  $\pm 0.75\%$  的范围内，沒有什么实际意义。

表 4 中所載为 122 公厘榴彈炮之榴彈在彈道上爆炸时